

在不同的领域内探寻孤立磁荷存在的可能性)。

其次,我们分析场变量  $\mathbf{H}(\mathbf{r})$  的环流特性,即在磁场中,任取一个闭合回路  $C$ ,注意现在直流通回路为  $C'$ ,如图 5.2.1 所示,则由式(5.1.4)得

$$\begin{aligned}\oint_C \mathbf{H} \cdot d\mathbf{l} &= \oint_C \frac{I}{4\pi} \oint_{C'} \frac{d\mathbf{l}' \times \mathbf{e}_R}{R^2} \cdot d\mathbf{l} = \frac{I}{4\pi} \oint_C \oint_{C'} \frac{(-d\mathbf{l} \times d\mathbf{l}') \cdot \mathbf{e}_R}{R^2} \\ &= -\frac{I}{4\pi} \oint_C \oint_{C'} \frac{(d\mathbf{l} \times d\mathbf{l}') \cdot \mathbf{e}_R}{R^2}\end{aligned}\quad (5.2.3)$$

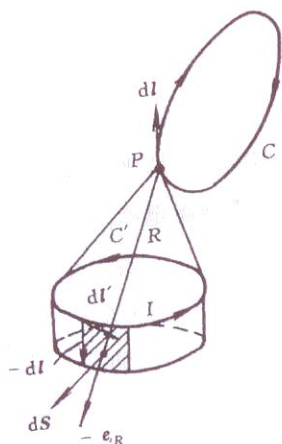


图 5.2.1 回路  $C'$  的  $\mathbf{B}$  对回路  $C$  的线积分

图 5.2.1 中  $P$  点(场点)是积分路径上的一个点,电流回路  $C'$  所包围的表面  $S'$  对场点  $P$  构成的一个立体角  $\Omega$ 。 $P$  点沿回路  $C$  位移  $(-d\mathbf{l})$  时,立体角将改变  $d\Omega$ 。这同保持  $P$  点不动,而回路  $C'$  位移  $(-d\mathbf{l})$  时立体角的改变是完全一样的。从图 5.2.1 可见,如果回路  $C'$  位移  $(-d\mathbf{l})$ ,则回路包围的表面由  $S'_1$  变为  $S'_2$ ,表面的增量为  $dS' = S'_2 - S'_1 = \oint_C (-d\mathbf{l} \times d\mathbf{l}')$ ,即图中的环形表面,立体角的改变为

$$d\Omega = \oint_C \frac{(-d\mathbf{l} \times d\mathbf{l}') \cdot (-\mathbf{e}_R)}{R^2}$$

$$\text{即} \quad -d\Omega = \oint_C \frac{(-d\mathbf{l} \times d\mathbf{l}') \cdot \mathbf{e}_R}{R^2}$$

这就是  $P$  点位移  $d\mathbf{l}$  时立体角的改变量,那么  $P$  点沿着  $C$  回路移动一周时,立体角的变化为

$$-\Delta\Omega = \int d\Omega = \oint_C \oint_{C'} \frac{(-d\mathbf{l} \times d\mathbf{l}') \cdot \mathbf{e}_R}{R^2}\quad (5.2.4)$$

比较式(5.2.3)和式(5.2.4),可知

$$\oint_C \mathbf{H} \cdot d\mathbf{l} = \frac{I}{4\pi} \Delta\Omega\quad (5.2.5)$$

环积分的结果取决于  $\Delta\Omega$ ,一般分为两种情况:

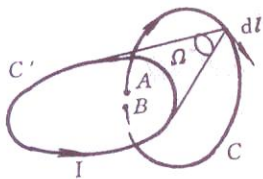
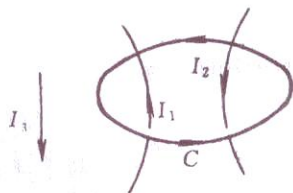
(1) 积分回路  $C$  不与电流回路  $C'$  相套链,如图 5.2.1 所示。可见,当从某点开始沿闭合回路  $C$  绕行一周并回到起始点时立体角又回复到原来的值,即  $\Delta\Omega=0$ ,而式(5.2.5)变为

$$\oint_C \mathbf{H} \cdot d\mathbf{l} = 0$$

(2) 若积分回路  $C$  与电流回路  $C'$  相套链,即  $C$  穿过  $C'$  所包围的面  $S'$  的情况。如图 5.2.2 所示,如果我们取积分回路的起点为  $S'$  面上侧的  $A$  点,终点为在  $S'$  面下侧的  $B$  点。由于面元对它上表面上的点所张的立体角为  $(-2\pi)$  而对下表面上的点所张的立体角为  $(+2\pi)$ ,故  $S'$  对  $A$  点的立体角为  $(-2\pi)$ ,对  $B$  点的立体角为  $(+2\pi)$ ,因而  $\Delta\Omega=2\pi - (-2\pi) = +4\pi$ ,于是有

$$\oint_C \mathbf{H} \cdot d\mathbf{l} = \frac{I}{4\pi} (4\pi) = I\quad (5.2.6)$$



图 5.2.2 积分回路  $C$  与电流回路  $C'$  相链情形图 5.2.3 积分回路包围的电流:  $\Sigma I = I_1 - I_2$ 

因为  $C$  与  $C'$  相套链,  $I$  也就是穿过回路  $C$  所包围平面  $S$  的电流, 而且当电流与回路  $C$  存在右螺旋关系时,  $I$  为正, 反之,  $I$  为负。综合上述两种情况, 用一个方程(积分形式)表示为

$$\oint_C \mathbf{H} \cdot d\mathbf{l} = \Sigma I \quad (5.2.7)$$

其中  $\Sigma I$  是  $C$  所包围电流的代数和, 在图 5.2.3 中  $\Sigma I = I_1 - I_2$ , 积分与  $I_3$  无关。必须说明的是: 环积分与  $I_3$  无关, 而被积函数  $\mathbf{H}(\mathbf{r})$  却是三个电流回路产生的总磁场强度, 即  $\mathbf{H}(\mathbf{r}) = \mathbf{H}_1 + \mathbf{H}_2 + \mathbf{H}_3$ , 这里  $\mathbf{H}_1$  与  $I_1$  有关,  $\mathbf{H}_2$  与  $I_2$  有关,  $\mathbf{H}_3$  与  $I_3$  有关。式(5.2.7)称为安培环路定律(积分形式)。

由式(5.2.7)可导出安培环路定律的微分形式方程, 由斯托克斯定理

$$\oint_C \mathbf{H} \cdot d\mathbf{l} = \int_S \nabla \times \mathbf{H} \cdot d\mathbf{S}$$

和

$$\Sigma I = \int_S \mathbf{J} \cdot d\mathbf{S}$$

即

$$\int_S \nabla \times \mathbf{H} \cdot d\mathbf{S} = \int_S \mathbf{J} \cdot d\mathbf{S}$$

因为回路是任意取的, 故有

$$\nabla \times \mathbf{H} = \mathbf{J} \quad (5.2.8)$$

显然安培环路定律的微分形式表明磁场是有旋转的矢量场, 源变量  $\mathbf{J}$  与场变量  $\mathbf{H}(\mathbf{r})$  的关系就是式(5.2.8)。与静电场相比, 磁场是一种非保守场。

总结真空中磁场的基本方程式:

积分形式

微分形式

$$\oint_S \mathbf{B} \cdot d\mathbf{S} = 0$$

$$\nabla \cdot \mathbf{B} = 0$$

磁通连续性方程

$$\oint_C \mathbf{H} \cdot d\mathbf{l} = I$$

$$\nabla \times \mathbf{H} = \mathbf{J}$$

安培环路方程

在真空中本构关系方程为  $\mathbf{B} = \mu_0 \mathbf{H}$ 。

在已知场源变量  $\mathbf{J}(\mathbf{r})$  的条件下, 用偏微分方程法, 就能求得磁场强度  $\mathbf{H}(\mathbf{r})$ 。具体作法是: